

成都工学院图书馆

351396

基本馆藏

# 机车动力学

И.И.尼科拉耶夫 著



人民铁道出版社

# 机 車 动 力 学

И.И.尼科拉耶夫著

冯 登 泰 译

•人 民 鐵 道 出 版 社

1964年·北京

书中研究了机车动力学的基本問題，如活塞式机器慣性力的平衡、軸的扭轉振动、彈簧悬挂工作、簧上結構的振动、各輪对上載荷的分配及机車在鋼軌上的运行等基本問題。

本书可作为鐵道高等学校的教学用书，也可供与机車制造、运用有关的科研和工程技术人员参考。

### 机 車 动 力 学

ДИНАМИКА ЛОКОМОТИВОВ

苏联 И.И.НИКОЛАЕВ著

苏联国家铁路运输出版社（一九六二年莫斯科俄文版）

ТРАНСЖЕЛДОРИЗДАТ

МОСКВА 1962

馮登泰譯

人民鐵道出版社出版

(北京市霞公府甲24号)

北京市书刊出版业营业許可證出字第010号

新华书店北京发行所发行

人民鐵道出版社印刷厂印

书号 1931 开本350×1168<sub>32</sub><sup>1</sup> 印张10<sub>4</sub><sup>1</sup> 插頁2 字数 263 千

1964年4月第1版

1964年4月第1版第1次印刷

印数 0,001—2,000 冊 定价(科七) 1.70 元

## 作者的話

摆在读者面前的这本机车动力学教科书，包括电力机车、内燃机车的动力学基本原理，也是机车动力学的一般教程。

一般教程范围之外的问题，例如运动稳定性，当有二级悬挂时簧下质量的振动，电力机车受电弓架动力学与内燃机车液力传动动力学，车体和牵引电动机的振动问题，活节转向架式机车的蛇行摆动，机车进入缓和曲线时的动力学以及其他一连串的问题，则在本教科书中未作研讨。

作者在叙述此教程时，力求将这些问题的数学式，与所发生的物理现象联系起来。对于惯性力的平衡问题，我们首先就这样做了。例如，表明了，如果平衡重块的惯性力共轭分量虽按正弦、余弦规律变化，但无相应的方向，则不可能平衡掉一阶谐量。发动机平衡理论，是以一种广义方式叙述的，这样则有可能将它应用于任何类型的机车。对受周期性铅垂力作用而出现的铅垂振动，从物理学上作了解释。

在本教程中，研究了发动机曲轴的扭转振动问题，并叙述了减振器的基本原理。

在“机车弹簧装置的理论”一章中，除了讨论板弹簧、圆弹簧的工作，以及详细叙述了板弹簧摩擦力的影响而外，还分析了橡皮元件和扭转式装置的工作。

在阐述机车通过曲线的问题时，特别注意于车体以摇摆支承架于转向架上的机车，以及具有复原装置的机车；并阐述了T93内燃机车复原装置的工作原理。

在“机车对线路的作用和运行安全性”一章中，主要注意力放在车轮抵靠钢轨及与钢轨的相互作用、轮缘超前值的计算，以及行驶安全准则和磨损准则。

众所周知，编写机车动力学教科书是有困难的。在此，作者将感谢以其意见与愿望见告的读者。

## 目 录

### 作者的話

<b>第一章 活塞式机器惯性力的平衡</b>	1
§ 1. 机车平衡性概念	1
§ 2. 纯迴转运动部件惯性力的平衡	4
§ 3. 第二、三类部件惯性力的平衡	8
§ 4. 多缸发动机的平衡	34
a) 单排多缸发动机的平衡	34
b) 气缸作 V形排列的多缸发动机的平衡	40
§ 5. 具有连杆系统的机车的平衡	41
§ 6. 发动机飞轮参数的计算	50
<b>第二章 轴的扭转振动</b>	55
· 振动的一般概念	55
A. 轴的自由振动	58
§ 1. 单圆盘轴的扭转振动	58
§ 2. 多圆盘轴的扭转振动	69
§ 3. 将轴转换成单一直径的轴	77
§ 4. 轴曲拐的计算	78
§ 5. 连杆与活塞质量的计算	81
§ 6. 单个质量对于扭转振动的影响	82
§ 7. 六缸发动机自由振动圆周频率算例	85
B. 轴的受迫振动	92
§ 1. 轴的无衰减受迫振动	96
§ 2. 轴的衰减受迫振动	97
§ 3. 扰动力矩分谐量幅度的计算	103
§ 4. 谐量幅度与相位错角的算例	109
§ 5. 发动机各缸发火顺序对于扭转受迫振动的影响	113

§ 6. 利用机电比拟法求发动机曲轴振动频率.....	120
§ 7. 减振器理论.....	123
<b>第三章 机車彈簧裝置的理論.....</b>	<b>131</b>
§ 1. 弹簧装置的作用.....	131
§ 2. 机车的缓冲装置.....	133
a) 板弹簧和圆弹簧.....	133
b) 复式弹簧装置.....	145
c) 橡皮元件的弹性装置.....	154
d) 扭转式悬挂.....	158
<b>第四章 各輪對上載荷的分配.....</b>	<b>161</b>
§ 1. 机车重量分配中的主要問題.....	161
§ 2. 机车的悬挂系统示意图.....	166
<b>第五章 輪上結構的振動.....</b>	<b>170</b>
§ 1. 振动的种类.....	170
§ 2. 铅垂振动.....	171
§ 3. 纵向摇摆.....	177
§ 4. 横向摇摆.....	185
§ 5. 转动惯量的计算.....	189
<b>第六章 传动方式与牵引力对于輪对作用于       鋼軌載荷的影响.....</b>	<b>191</b>
<b>第七章 机車在鋼軌上的运行.....</b>	<b>210</b>
§ 1. 机车在直线上的运行.....	210
§ 2. 曲线上运行的特点.....	215
§ 3. 复原装置.....	218
a) 摆枕与拉杆式复原装置.....	220
b) 圆弹簧式复原装置.....	222
c) 箱式复原装置.....	223
d) 斜面式复原装置.....	226
§ 4. 曲线通过的图解法.....	229
a) 圆弧法.....	229

b) 抛物线法.....	239
c) 用图解法计算机车曲线几何通过的例子.....	240
§ 5. 用分析法求转向架式机车轮对的极距和游动量.....	247
§ 6. 通过限界(平面内).....	250
§ 7. 确定机车在曲线上运行时的水平力.....	253
a) 一般原理.....	253
b) 沿曲线运行时机车上的作用力.....	255
c) 确定轴式为0-n-0 机车的水平力(轮对 无横向游动量).....	257
d) 具有横向游动量的轮对(无复原装置) 对于横向水平力的影响.....	266
e) 确定轴式为3 <sub>0</sub> -3 <sub>0</sub> 、车体为摆式支承的 机车的水平力.....	269
f) 活节机车水平力的计算方法.....	279
§ 8. 机车在曲线上的稳定性.....	287
§ 9. 弹簧高度对水平力的影响.....	293
<b>第八章 机車对线路的作用和运行安全性.....</b>	<b>295</b>
§ 1. 车轮给钢轨的动载.....	295
§ 2. 钢轨应力和压挤量.....	300
§ 3. 车轮爬起.....	304
§ 4. 在曲线上行驶时轮缘与轨顶侧缘的磨损.....	319
<b>参考文献.....</b>	<b>322</b>

# 第一章 活塞式机器惯性力的平衡

## §1. 机车平衡性概念

机车走行特性（平稳或不平稳）和运行安全性所决定的动力学性能，是评价机车质量的重要因素。这些性能，与走行部份的结构和机车的平衡性有关。

令 $x$ 轴的方向为沿线路中心线、在机车水平面内的方向（图1）； $y$ 轴在同一平面内，但垂直于 $x$ 轴，而 $z$ 轴则沿铅垂方向。如果投影于 $x$ 轴上的分力之和不等于零，其数值与方向在变化着，则将觉察到机车的纵向振动。如果水平力在水平面产生力矩，则因此而促成机车的蛇行摆动。铅垂面内未获平衡的力，传到机车的簧承质量与非簧承质量上，造成簧上结构的振动（铅垂振动，纵向摇摆，横向摇摆），造成轮对给钢轨产生周期性变化（按数量与符号）的动载分量。

于是，因水平不平衡性而出现机车的纵向振动和蛇行摆动，由于机车的铅垂不平衡性而出现各车轮铅垂载荷的变化。

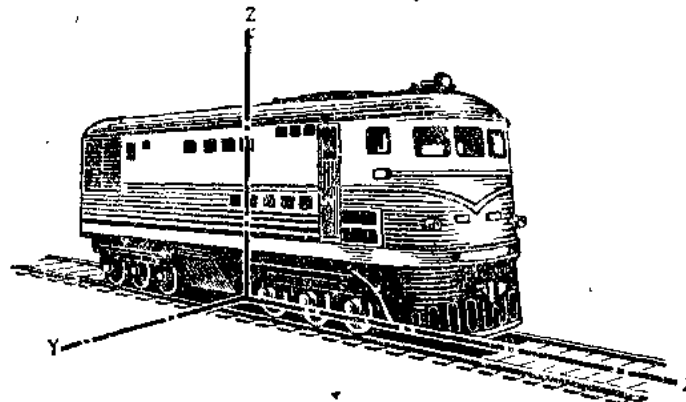


图1. 座标轴的位置

凡是这样的机车可以认为是平衡的机车，即它沒有：

- 1) 纵向振动；
- 2) 蛇行摆动；
- 3) 在运行时各车轮垂载荷的变化；
- 4) 弹簧上结构的振动。

这里所说的现象，是机车本身结构中某些部件所引起的，而不是钢轨的缺陷或特点（凹陷，接缝，等等）所造成的，这些缺陷，不仅破坏一切机车的平稳行驶，也破坏车辆的平稳行驶，而与机车的平衡性无任何关系。

应当指出，上述现象中，一些与整个机车有关（例如，纵向振动可能仅属于整个机车），另一些（例如弹簧上结构的振动）则仅与机车的弹簧质量有关。

如果用这些条件来评价线路上现有的各型机车（电力机车、内燃机车、燃气轮机车与蒸汽机车），那么可以认为，平衡性最好的机车，是电力机车与燃气轮机车。

内燃机车是平衡性较差的机车，其发动机安置在车架上，即在弹簧部份上。这种活塞式发动机本身就是不平衡的，当然未经平衡的惯性力将传递到主车架上去，因而引起主车架的振动。车轮动载分量虽然也会出现，但不及具有连杆曲拐机构的内燃机车或蒸汽机车那样强烈。

从行驶平稳的意义上讲，蒸汽机车是最不平稳的机车，它有纵向振动、蛇行摆动、车轮动载的相当强烈的变化，也有弹簧上结构的振动。这些振动能导致共振，并引起事故。

研究引起这些现象的一切力，和减轻这些力的方法，也是机车动力学教程的任务。

要将机器惯性力加以平衡，其目的在于，使得这些力既对机车也对线路产生最小的作用。惯性力能成为柴油机曲轴轴承上出现可观的压力的原因，未平衡力将从轴承传递到车体主车架上

\* 指非电传动的以曲拐机构传动的内燃机车。——译者

去，而引起机车的振动。因此，采取措施使这些力的作用变成最小，就成为很重要的問題了。

说到发动机或机器惯性力的平衡，应当考虑到，从结构方面说，它应当简单而可靠。采用复杂机构，形如活动平衡重块，或有自己的传动的平衡重块，以平衡机器是不值得的。所以留下某部份力不予平衡，比之将发动机结构复杂化、降低其工作可靠性与增加修理费用，是更为合理的。从力学观点看来，为达到平衡，可采用固定在发动机轴上的平衡重块（固定式平衡块），或在某些结构中，为了较好的平衡，加上活动的平衡块（以比发动机或机器的轴更大的速度进行迴转）。后一种平衡方法，在机车上未获采用。将几个单缸发动机联合成多缸发动机，就可达到相当好的平衡。

内燃机车原动机常常是由 6、8、10 或更多的缸数组成的多缸机。各缸排成一排，或排成两排，彼此之间有夹角，并且共一根轴（V 形排列）。也有一个发动机具有两根轴（例如 T93 内燃机车）。

蒸汽机车常常都有两部蒸汽机。比较少见的是三缸或四缸蒸汽机车，其活塞力量传送到一根或两根动轴上。

现在我们直接来讨论活塞式发动机的平衡，可以确定，任何发动机有三类运动的部件。属于第一类的，是作纯迴转运动的零件：内燃机车发动机曲轴的曲柄和轴颈，蒸汽机车的曲拐、连杆和偏心曲拐，以及一般的以转动轴线为基准呈偏心分布的质量；属于第二类的部件，是作纯往复运动的零件（活塞系统）；属于第三类的，是作复合运动的零件（主动连杆）。

在平衡工作的实践中，常常将第三类部件的惯性力归到第二类部件中一起研究。

我们将从迴转部件的平衡工作开始，来讨论机器的平衡問題。

## §2. 纯回转运动部件惯性力的平衡

根据机车内装置的发动机（或机器）类型的不同，属于回转运动部件（质量）的，有：内燃机的曲轴，曲拐，蒸汽机车的偏心曲拐与连杆。这些质量可以表示成为集中的重块，具有某一回转半径，位于同轴有关的一定平面之内（图2）。在轴以角速度 $\omega$ 回转时，产生离心力 $C_1$ 的数值，按如下的公式计算：

$$C_1 = m_1 \omega^2 \rho_1, \quad (1)$$

式中  $m_1$ —回转的质量；  
 $\rho_1$ —回转半径。

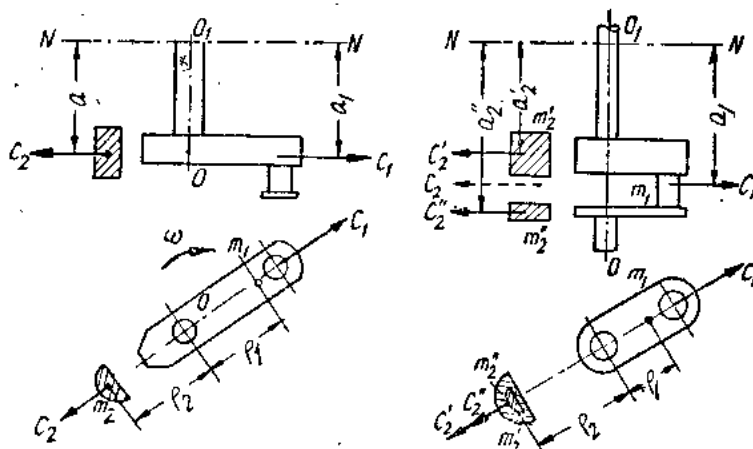


图2. 用同一平面内的平衡重块的回转质量作平衡

图3. 用两个平面内的两个重块的回转质量作平衡

为了平衡这个质量，还需知道该质量相对于某一选定的平面 $NN'$ 的位置，及其间之距离 $a$ 。

这一力量的平衡，主要在于装上数值为 $m_2$ 的一个质量，其回转半径为 $\rho_2$ ，产生的离心力为

$$C_2 = m_2 \omega^2 \rho_2, \quad (2)$$

此离心力完完全全等于前一力，就是说， $C_1 = C_2$ ，或者

$$m_1 \omega^2 \rho_1 = m_2 \omega^2 \rho_2, \quad (3)$$

由此得到

$$m_1\rho_1 = m_2\rho_{2*} \quad (4)$$

按照机器的结构选定迴转半径  $\rho_2$  以后，即可求出平衡质量的数值  $m_2$

$$m_2 = m_1 \frac{\rho_1}{\rho_2}, \quad (5)$$

及其重量

$$Q_2 = m_2 g^*.$$

求出的质量应当装置在质量  $m_1$  的同一直径的相反位置上，并位于同一平面内。但是，由于结构方面的原因，一个质量  $m_2$ ，作为平衡重块，不是总能安置上的，因而人们将它用两个质量  $m'_2$  与  $m''_2$  代替，使后两质量安装在选定的、便于结构设计的两个平面之内（图 3），让两离心力  $C'_2$  和  $C''_2$  的合力，等于力  $C_2$ ，且位于力  $C_1$  的平面内。

从数学上说，这可用下面的方程表示：

$$m_1\rho_1 = m'_2\rho_2 + m''_2\rho_2, \quad (6)$$

$$m_1a_1 = m'_2a'_2 + m''_2a''_2. \quad (7)$$

在特殊情况下，当各个质量的迴转半径相同时 ( $\rho_1 = \rho_2$ )，将有

$$m_1 = m'_2 + m''_2, \quad (8)$$

$$m_1a_1 = m'_2a'_2 + m''_2a''_2, \quad (9)$$

由此我们求得

$$m''_2 = \frac{m_1(a_1 - a'_2)}{a''_2 - a'_2}, \quad (10)$$

$$m'_2 = m_1 - m''_2 = \frac{m_1(a''_2 - a_1)}{a''_2 - a'_2}. \quad (11)$$

如果采用  $a'_2$  与  $a''_2$  时，由下面的条件出发，

$$\frac{a'_2 + a''_2}{2} = a_1, \quad (12)$$

\* 在下面，用以平衡迴轉质量的平衡重量，用  $Q_r$  表示。

则求得每一平衡质量等于被平衡质量的一半

$$m'_2 = m'_1 = \frac{m_1}{2} \quad (13)$$

一个偏心质量的平衡，就是这样做的。很明显，我们讨论过的平衡方法，可以推广到任何数目的、位于平行平面内的迴转质量的平衡。假设质量  $m_1, m_2, m_3 \dots$  (图 4)，彼此之间有不同的夹角  $\alpha_1, \alpha_2, \alpha_3 \dots$ ，具有迴转半径  $\rho_1, \rho_2, \rho_3 \dots$ ，距一选定平面  $NN'$  有不同的距离  $a_1, a_2, a_3 \dots$ 。要求用位于相距为  $b$  的二给定平面  $NN'$  和  $WW'$  内的两平衡重量  $Q_N$  和  $Q_W$  来平衡这一系统。这些平衡重量的迴转半径，可以是任意的，在特殊情况下，等于  $r$ 。

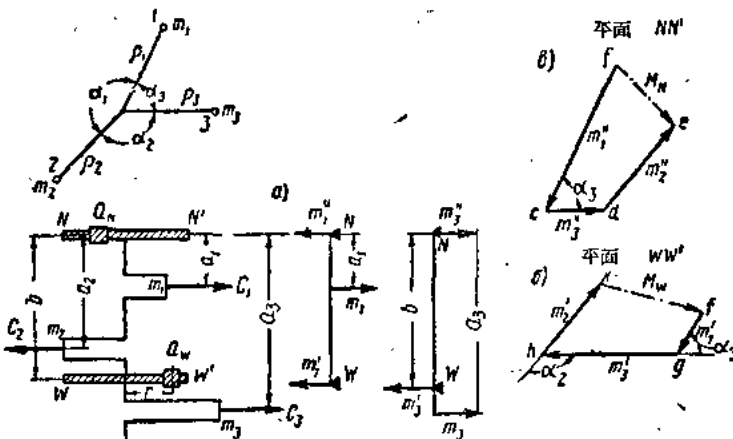


图4. 用两个平行平面内的不平衡质量以平衡几个迴轉质量

从确定平衡质量开始，我们来解决此问题，将平衡质量分布在选定的平面上。为此，对于平面  $WW'$  (图 4, 6) 将有：

a) 对于第一质量，取质量  $m'_1$  等于

$$m'_1 = m_1 \frac{a_1}{b} \quad (\text{图 4, 6 中的线段 } fg)$$

b) 对于第二质量，

$$m'_2 = m_2 \frac{a_2}{b} \quad (\text{图 4, 6 中的线段 } hk)$$

c) 对于第三质量,

$$m'_3 = m_3 - \frac{a_3}{b} \quad (\text{图 4, 6 中的线段 } gh) .$$

必须指出, 平衡质量  $m'_1$ 、 $m'_2$  与  $m'_3$  的分布, 和对应的曲拐 1、2、3 的分布正好相反; 同时, 前两平衡质量  $m'_1$  与  $m'_2$  将小于被平衡的质量  $m_1$  与  $m_2$ , 至于第三平衡质量  $m'_3$ , 则其数量将大于被平衡的质量  $m_3$ , 因为力臂  $a_3$  大于力臂  $b$ 。

对于平面  $NN'$ , 平衡质量  $m'_1$  与  $m'_2$  的分布方向, 与曲拐 1 和 2 的方向相反; 而质量  $m'_3$  的分布方向, 则与曲拐 3 的方向重合, 因为被平衡的质量  $m_3$  位于选定的平面  $NN'$  和  $WW'$  之外。

对于平面  $NN'$ , 将有 (图 4, 6) :

a) 对于第一质量,

$$m'_1 = m_1 - m'_1 = m_1 - \frac{b - a_1}{b} \quad (\text{图 4, 6 中的线段 } fc) ,$$

b) 对于第二质量,

$$m'_2 = m_2 - m'_2 = m_2 - \frac{b - a_2}{b} \quad (\text{图 4, 6 中的线段 } de) ,$$

c) 对于第三质量,

$$m'_3 = m_3 - m'_3 = m_3 - \frac{b - a_3}{b} \quad (\text{图 4, 6 中的线段 } cd) .$$

按多边形规则, 将各平面内的质量  $m'_1$ 、 $m'_2$ 、 $m'_3$  和  $m'_1$ 、 $m'_2$ 、 $m'_3$  相加以后, 可以求出二个总和质量  $M_N$  和  $M_W$ , 或和他们相对应的平衡重量  $Q_N = M_N g$  与  $Q_W = M_W g$ 。

应当指出, 在内燃机车内装置的多缸柴油机中, 用以平衡惯性力或迴转质量的平衡重量, 不是分布在两个平面中, 如所周知, 它会实现全系统的平衡 (整个发动机), 而是分布在每一缸的曲拐上, 以减轻主轴承承受的载荷, 结果, 也减轻其磨损。至于连杆式蒸汽机车, 则平衡平面的选择很受限制。实际上, 平衡重量只能装设在车轮平面内。

从上面所述可知, 回转质量能够全部被平衡掉。

### §3. 第二。三类部件惯性力的平衡

假设气缸的中心线是铅垂的，并和曲轴中心或主动车轮中心有距离  $b$ （图 5； $b$  称为“偏心度”）。对于此种普遍情况所推得的结论，可以推广到气缸呈任何排列的发动机。

为了平衡发动机的惯性力，首先应当知道活塞的加速度，将活塞经过的路程按时间取二次导数，即可决定它。

当曲拐转过角  $\varphi$  时，令活塞走过的路程为

$$\begin{aligned} x &= ME_0 - ME = OE_0 \cos \alpha'_0 \\ &- (MC + EC) = (r + L) \\ &\cos \alpha'_0 - (r \cos \varphi + L \cos \alpha) \\ &= r(\cos \alpha'_0 - \cos \varphi) + \\ &L(\cos \alpha'_0 - \cos \alpha), \quad (14) \end{aligned}$$

式中  $\alpha'_0$ ——活塞在上止点时，连杆与气缸中心线  $OE_0$  间的夹角（常数值）；

$\varphi$ ——从  $ON$  线算起，曲拐的转角， $ON$  通过轴或轮的中心，平行于气缸轴线  $ME_0$ ；

$\alpha$ ——连杆和直线  $ME_0$  间的夹角（此角和角  $\varphi$  同为变数）。

取  $\cos \alpha'_0 = 1$ ，并代换以  $\cos \alpha = 1 - \frac{\sin^2 \alpha}{2}$

为了求  $\sin \alpha_1$ ，由三角形  $ACE$  中得

$$AC = AD + DC = r \sin \varphi + b, \quad (15)$$

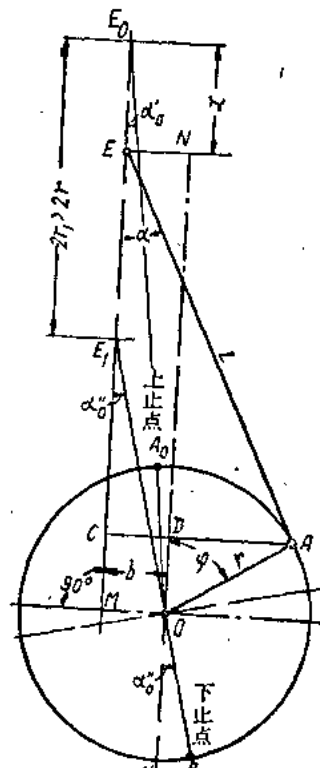


图5. 在曲拐转过角  $\varphi$  时，活塞经过路程的计算

但是  $AC = L \sin \alpha$ , 因此有

$$r \sin \varphi + b = L \sin \alpha. \quad (16)$$

结果,

$$\sin \alpha = \frac{r}{L} \sin \varphi + \frac{b}{L}. \quad (17)$$

将方程 (14) 作此代换以后, 得到活塞在曲拐转过角  $\varphi$  时期经过路程的更简单公式:

$$\begin{aligned} x &= r(1 - \cos \varphi) + \frac{L}{2} \sin^2 \alpha = r(1 - \cos \varphi) \\ &+ \frac{L}{2} \left( \frac{r}{L} \sin \varphi + \frac{b}{L} \right)^2 = r(1 - \cos \varphi) \\ &+ \frac{r^2}{2L} \sin^2 \varphi + \frac{rb}{L} \sin \varphi + \frac{b^2}{2L}. \end{aligned} \quad (18)$$

略去数值  $\frac{b^2}{2L}$ , 则得

$$x = r \left[ (1 - \cos \varphi) + \frac{r}{2L} \sin^2 \varphi + \frac{b}{L} \sin \varphi \right]. \quad (19)$$

如果在此方程中代入  $\sin^2 \varphi = \left(\frac{1 - \cos 2\varphi}{2}\right)$ , 则可得到下列  $x$  的公式:

$$x = r \left[ (1 - \cos \varphi) + \frac{r}{4L} (1 - \cos 2\varphi) + \frac{b}{L} \sin \varphi \right]. \quad (20)$$

偏心机构的活塞行程  $E_1 E_0 = 2r$  比圆周直径 ( $2r$ ) 稍大。事实上, 由图 5 可得

$$\begin{aligned} E_1 E_0 &= E_0 M - E_1 M = \sqrt{(r+L)^2 - b^2} \\ &- \sqrt{(L-r)^2 - b^2}. \end{aligned}$$

展开成级数, 并限用最前面两项, 则得

$$\begin{aligned} E_1 E_0 &= 2r' = (L+r) \left[ 1 - \frac{b^2}{2(L+r)^2} \right] \\ &- (L-r) \left[ 1 - \frac{b^2}{2(L-r)^2} \right] = 2r \left[ 1 + \frac{b^2}{2(L^2+r^2)} \right] \\ &\approx 2r \left( 1 + \frac{b^2}{2L^2} \right) = 2r + \frac{b^2 r}{L^2}. \end{aligned} \quad (21)$$

将活塞行程按时间取一次导数  $\frac{dx}{dt}$ , 从方程 (14) 求出速度为

$$v = \frac{dx}{dt} = r \sin \varphi \frac{d\varphi}{dt} + L \sin \alpha \frac{da}{dt} \\ = \omega r \sin \varphi + L \sin \alpha \frac{da}{dt}, \quad (22)$$

式中  $\omega = \frac{d\varphi}{dt}$  —— 角速度。

$\cos \alpha_0$  的导数等于零, 因为  $\alpha_0$  为常数。数值  $\frac{da}{dt}$  可以从方程 (17) 求出:

$$\cos \alpha \frac{da}{dt} = -\frac{r}{L} \cos \varphi \frac{d\varphi}{dt} = \omega \frac{r}{L} \cos \varphi, \quad (23)$$

$$\frac{da}{dt} = \omega \frac{r}{L} \cdot \frac{\cos \varphi}{\cos \alpha}. \quad (24)$$

将  $\frac{da}{dt}$  的数值代入方程 (22), 则得

$$v = \omega r \sin \varphi + \omega r \frac{\cos \varphi \sin \alpha}{\cos \alpha} = \omega r \frac{\sin(\alpha + \varphi)}{\cos \alpha}, \quad (25)$$

或者根据方程 (17),

$$v = \omega r \left[ \sin \varphi + \frac{\cos \varphi}{\cos \alpha} \left( \frac{r}{L} \sin \varphi + \frac{b}{L} \right) \right]. \quad (26)$$

为了求加速度, 取二次导数  $\frac{d^2x}{dt^2}$ , 对方程 (26) 取微分,

$$\begin{aligned} j &= \frac{dv}{dt} = \frac{d^2x}{dt^2} = \omega r \left[ \cos \varphi \frac{d\varphi}{dt} + \frac{r}{L} \right. \\ &\times \left. \frac{\cos \alpha \cos^2 \varphi \frac{d\varphi}{dt} - \cos \alpha \sin^2 \varphi \frac{d\varphi}{dt} + \sin \varphi \cos \varphi \sin \alpha \frac{da}{dt}}{\cos^2 \alpha} \right. \\ &\quad \left. + \frac{b}{L} \cdot \frac{\sin \alpha \cos \varphi \frac{da}{dt} - \sin \varphi \cos \alpha \frac{d\varphi}{dt}}{\cos^2 \alpha} \right] \\ &= \omega^2 r \left\{ \left[ \cos \varphi + \frac{r}{L} \cdot \frac{\cos^2 \varphi}{\cos \alpha} - \frac{r}{L} \cdot \frac{\sin^2 \varphi}{\cos \alpha} + \frac{r}{L} \right. \right. \end{aligned}$$